

**N E W S****OF THE NATIONAL ACADEMY OF SCIENCES OF THE REPUBLIC OF KAZAKHSTAN  
SERIES OF GEOLOGY AND TECHNICAL SCIENCES**

ISSN 2224-5278

Volume 3, Number 429 (2018), 317 – 326

**A. B. Baibatsha<sup>1</sup>, Andrzej Muszynski<sup>2</sup>,  
G. M. Omarova<sup>1</sup>, K. Sh. Dyussembayeva<sup>1</sup>, A. T. Kassenova<sup>1</sup>**

<sup>1</sup>Kazakh National Research Technical University named after K. I. Satpayev, Almaty, Kazakhstan,

<sup>2</sup>Adam Mickiewicz University, Poznan, Poland.

E-mail: baibatsha4@mail.ru; omarova\_gulnara@mail.ru

**GOLD FINENESS AS INDICATOR  
OF PHYSICAL-CHEMICAL CONDITIONS OF MINERALIZATION  
AT THE KOKKIYA GOLD DEPOSIT (KYRGYZ RIDGE)**

**Abstract.** The article describes the results of microscopic studies of ores at the Kokkiya deposit. The mineral composition of deposit's ore is determined with the identification of main, secondary and rare minerals. Fineness of gold is determined, the variability of which is determined by depth, as well as the processes of mineral formation from early associations to late ones. The fineness of native gold is accepted as a typomorphic sign by many scientists of the world and indicating the physical-chemical conditions for the formation of gold deposits. Founding rare microminerals also carry basic information about the physical-chemical conditions of ore deposition. Causal relationships between the composition of minerals and the characteristics of mineral-forming processes are revealed, which is the most important task of genetic mineralogy. It is equally important in practical terms for the development of mineralogical forecasting and evaluation criteria.

**Key words:** gold probability, pyrite, tellurides, gold-concentrating minerals.

УДК 552.086; 553.08

**А. Б. Байбатша<sup>1</sup>, А. Мушински<sup>2</sup>, Г. М. Омарова<sup>1</sup>, К. Ш. Диусембаева<sup>1</sup>, А. Т. Касенова<sup>1</sup>**

<sup>1</sup>Казахский национальный исследовательский технический университет им. К. И. Сатпаева,  
Алматы, Казахстан,

<sup>2</sup>Университет им. Адама Мицкевича, Познань, Польша

**ПРОБНОСТЬ ЗОЛОТА КАК ИНДИКАТОР  
ФИЗИКО-ХИМИЧЕСКИХ УСЛОВИЙ МИНЕРАЛООБРАЗОВАНИЯ  
НА ЗОЛОТОРУДНОМ МЕСТОРОЖДЕНИИ КОККИЯ  
(КЫРГЫЗСКИЙ ХРЕБЕТ)**

**Аннотация.** В статье изложены результаты микроскопических исследований руд на месторождении Kokkiya. Установлен минеральный состав руд месторождения, с выявлением главных, второстепенных и редких минералов. Определена пробность золота, изменчивость которой определяется глубиной, а также процессами минералообразования от ранних ассоциаций к поздним. Пробность самородного золота принимается многими учеными мира, как типоморфный признак, указывающий на физико-химические условия образования золоторудных месторождений. Найденные редкие микроминералы также несут основную информацию о физико-химических условиях рудоотложения. Выявлены причинно-следственные связи между составом минералов и характеристиками минералообразующих процессов, что является важнейшей задачей генетической минералогии. Не менее важно это и в практическом отношении для разработки минералогических прогнозно-оценочных критерий.

**Ключевые слова:** пробность золота, пирит, теллуриды, золотоконцентрирующие минералы.

**Введение.** Месторождение Коккя расположено на северных склонах Киргизского хребта, в пределах Киргизско-Терской минерагенической зоны. На территории Республики Казахстан, эта зона включает 6 золоторудных формаций: золото-кварцево-жильная; золото-сульфидно-кварцевая; золото-сульфидно-скарновая; золото-сульфидно-кварц-березитовая; золото-кварц-пропилитовая и золотоносных россыпей.

Месторождение Коккя связано с золото-кварц-пропилитовой формацией и приурочено к породам девонской вулкано-плутонической ассоциации (андезиты, риолиты, и их лавобрекции). Пространственное размещение их контролируется тектоническими нарушениями и малыми интрузиями сиенитов, сиено-диоритов, монцогранодиоритов средне-девонского интрузивного комплекса, и, в целом, носит линейно-узловой рисунок. Оруденение приурочено к лавам и лавобрекциям риолитового состава талдысусского субвулканического комплекса. На эти породы наложены зоны гидротермально-метасоматических изменений и прожилково-жильного окварцевания.

Месторождение Коккя делится на два участка: участок Коккя и участок Южный, расположенные в одной метасоматической зоне. Генетически это руды одного типа, но пространственно разнесены на 2 км.

Северная часть месторождения Коккя располагается в зоне интенсивного гидротермального изменения. Разрывные нарушения разбивают площадь месторождения на многочисленные блоки. Простирание разломов самое разнообразное. Распределение золотой минерализации на месторождении крайне сложное. Выделение рудных тел в пределах внешне однообразной зоны кварц-серicitовых метасоматитов возможно только по результатам анализа проб. Рудные тела выделены по бортовому содержанию 0,3 г/т. Форма тел - линейно-вытянутая в северо-восточном направлении. Падение основных рудных зон - юго-западное под углами 65-75°. Мощность рудных тел в скважинах изменяется от 0,5 до 60 м, в канавах от 1 до 22 м при средней мощности – 5-6 м.

На рудном поле месторождения Коккя намечается следующая вертикальная метасоматическая зональность: возвышенные части рельефа слагают вторичные кварциты, а под ними залегают пропилитизированные породы. Здесь же наиболее полно и широко проявлена серicitовая фация. Количество кварца и серицита в породе изменчиво. С уменьшением количества серицита наблюдается переход в мономинеральные кварцевые породы (монокварциты). С увеличением количества серицита, что обычно характерно для рудных тел, вторичные кварциты переходят в серицит-пиритовые породы (серицитолиты). Серицит, представляющий существенную составную часть кварцитов, нередко частично переходит в гидрослюду и ассоциирует с монтмориллонитом. На серицитовую фацию накладываются метасоматическое и прожилковое окварцевание, хлоритизация и карбонатизация. Кварцевые прожилки содержат хлорит, железистый карбонат, доломит, карбонат и несут полиметаллическую минерализацию в ассоциации с золотом.

Микроскопические исследования позволили выделить следующие зональные фации от периферии к центру: 1) пропилитовая, объединяющая сильно хлоритизированные, серицитизированные, альбитизированные, калишпатизированные, карбонатизированные и пиритизированные породы; 2) каолинитовая; 3) серицитовая; 4) диаспоровая; 5) монокварцевая [1, 2].

Золото-пиритовая минерализация тяготеет к серицитовой фации. Широкое развитие на участке серицитовой фации создало благоприятные предпосылки для проявления золото-серебряной минерализации. Монокварцевая фация развивается внутри серицитовой фации, где образует короткие линзы или желвакообразные стяжения. Мощность линз не превышает первых метров, а протяженность – первых десятков метров. Прочные монокварцитовые породы несут равномерную вкрапленность пирита и выделяются в рельефе положительными формами.

**Главные золотоконцентрирующие минералы:** пирит, кварц, серицит. Ценным компонентом является самородное золото. К числу второстепенных редко встречающихся относится целый ряд рудных минералов, определяющих геохимическую специфику рудообразования на месторождении (таблица 1). В числе редких особенно следует отметить теллуриды: золота (калаверит), висмута (цимоит), золота и серебра (петцит).

По результатам микроскопических исследований наиболее распространены кварц-серицитовые метасоматиты в различной степени пиритизированные, вплоть до серицитолитов. Значительно редки хлорит-кварц-серицитовые метасоматиты. Среди них серицитолиты наиболее обогащены самородным золотом. Визуально они отличаются присутствием пятен или прожилков

Таблица 1 – Минеральный состав руд месторождения Коккия

Главные	Второстепенные и редко встречающиеся минералы	Ценные и редкие микроминералы
Рудные		
Пирит (несколько генераций)	Халькопирит, Галенит, Сфалерит, Пирротин, Тетраэдрит, Теннантит, Голдфилдит*, Рутил, Ильменит, Кассiterит, Магнетит, Гематит, Молибденит, Шеелит Арсенопирит, Ярозит* Ковеллин, Гетит, Гидрогематит, Лейкоксен	Золото Калаверит Цумоит* Петцит* Алтait Висмутин* Теллуромисмутин Теллур самородный Моусонит? *
Нерудные минералы		
Кварц Серицит	Пирофиллит Кальцит Хлорит Мусковит Барит Каолинит Монтмориллонит	Циркон Монацит Крандаллит* Роговая обманка Сфен Цуниит Альбит Калишпат

\*Минералы, установленные при исследовании технологической пробы первичной руды месторождения Коккия.

пирита светло-желтоватого цвета в массе серицитолита, которые могут переходить в густовкрапленную колчеданную руду. Пятна или прожилки пирита мощностью до 2,5 см. Метасоматиты в различной степени прокварцованны, местами карбонатизированы.

**Пирит** – главный рудный минерал. Он образует рассеянную вкрапленность в метасоматитах, от редкой до густой. Встречается в виде гнезд и линзовидных выделений размером до 1-2 см. Пирит представлен несколькими генерациями.

**Пирит I** – кубической формы в виде мелкой рассеянной вкрапленности (от 0,01 до 0,05 мм и иногда до 0,1 мм) в массе хлорит-кварц-сериицитового метасоматита темно-зеленоватого цвета, приурочен к хлориту и серициту (рисунок 1/1).

**Пирит II** – в резко подчиненном количестве, мелкозернистый, в виде прожилковидно-цепочечных образований, развитый по-видимому по неустойчивому марказиту и в результате перекристаллизации переходящий в пентагондодекаэдрический, октаэдрический и реже кубический **пирит III** (рисунок 1/2).

**Пирит III** – пентагондодекаэдрической, октаэдрической, кубической форм в виде вкрапленности и сростков, приурочен преимущественно к серициту, более крупные зерна содержат включения рутила (рисунок 1/3). В пирите III по трещинкам развиваются более поздние халькопирит, галенит, размером от 0,01-0,015 до 0,03 мм. Отмечаются единичные включения арсенопирита в пирите III и сростки молибденита с пиритом в кварце. Отмечается густовкрапленный Пирит III в серицитолите, интенсивно корродированный, пористый, засорен включениями нерудных, по сохранившимся граням пентагондодекаэдрический и кубический. Размер зерен до 0,4 мм. В таком корродированном пирите золото находится в тесных срастаниях с теллуридами золота, серебра и свинца.

**Пирит IV** – более крупный (от 0,1 до 0,3 мм) в виде сростков и агрегативных выделений в массе метасоматита. Агрегативный пирит разбит трещинками, по которым развиваются более поздние сфалерит, галенит и халькопирит (рисунок 1/3). Сростки и агрегативные выделения пирита размером до 0,5x1,5 и 0,5x2,0 мм.

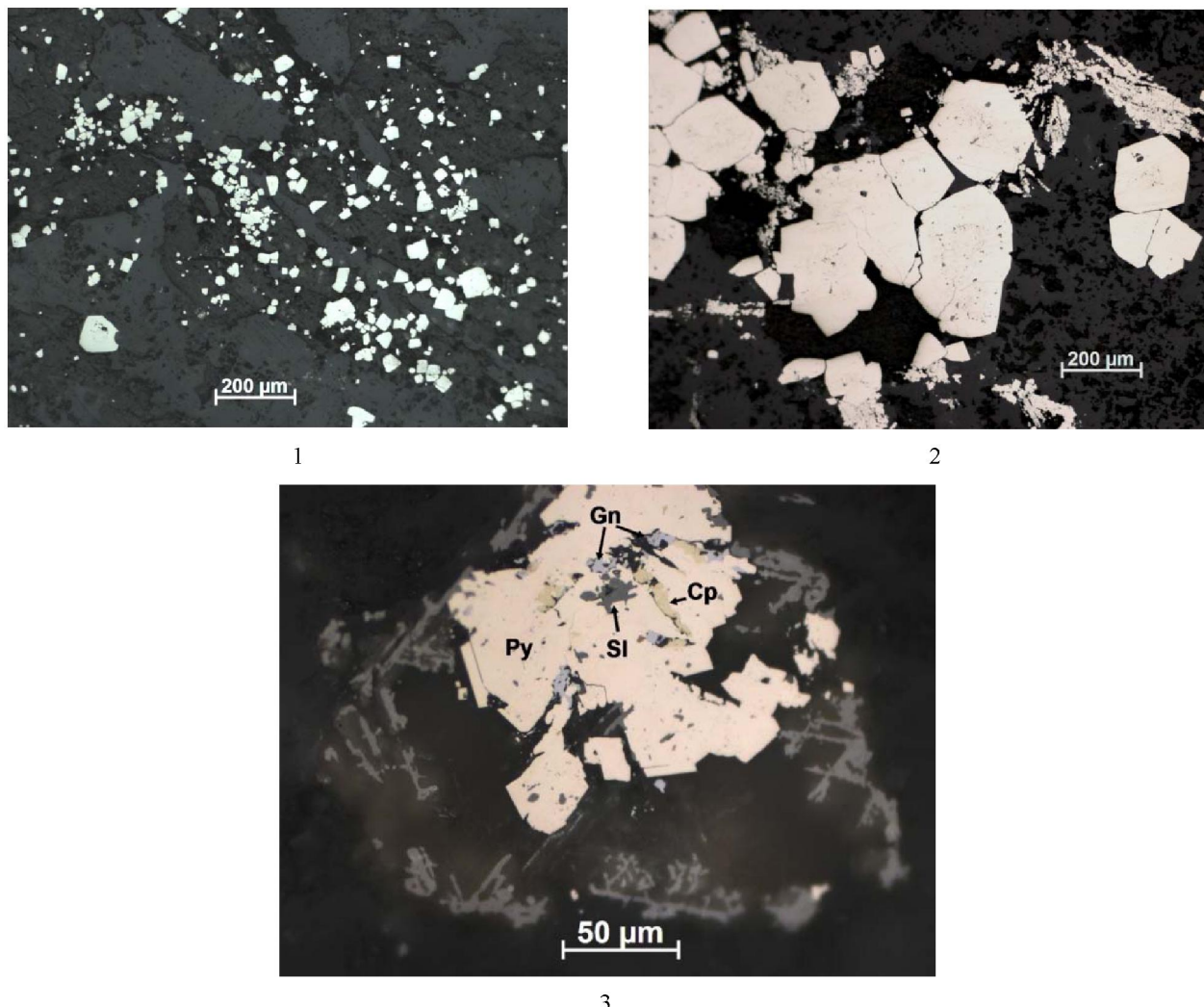


Рисунок 1 – Пирит в различных генерациях:

1 – Пирит I мелкозернистый кубической формы в хлорите и сериците. Аншлиф 84;  
2 – Пирит II прожилковидный и Пирит III пентагондодекаэдрический. Аншлиф 86; 3 – IV агрегативный (Py).  
Зерна его замещаются минералами титана. Между зернами его галенит (Gn), халькопирит (Cp) и сфалерит (Sl). Аншлиф 84

**Пробность самородного золота** издавна привлекала внимание ведущих ученых мира, рассматривавших ее как типоморфный признак, обусловленный физико-химическими условиями образования золоторудных месторождений. В частности, В.В. Щербина [3] еще полвека назад придавала отношению Au/Ag значение геохимического индикатора миграционной способности золота и серебра и причин их геохимической дифференциации в различных геологических процессах. Важность этого параметра, как критерия определенных условий формирования конкретных золоторудных и золото-серебряных месторождений при их классификации и формационной идентификации отмечается в многочисленных работах многих исследователей [4, 5]. Так для пробности самородного золота предложена классификация золоторудных месторождений по шести основным типам. По их оценкам для plutоногенного типа диапазон вариации пробности Au составляет 650–970‰, для порфирового – 650–1000‰, для вулканогенного – 520–870‰, для эптермального – до 1000‰. Ряд ученых считают, что пробность золота возрастает с увеличением температуры и глубины рудообразования. В частности, И.В. Петровская с соавторами констатирует, что золото в высоко-температурных глубинных месторождениях высокопробное, среднеглубинных – среднепробное, а малоглубинных – изменяется в широком диапазоне и определяется температурным режимом, хотя она и не отрицает существенного влияния на состав Au pH и Eh среды. Другие напротив, на основе детальных исследований по растворимости Au-Ag сплавов

считают, что на пробность золота влияют, в основном, кислотность-щелочность гидротермальных растворов и содержание в них серы и лишь в меньшей степени она зависит от температуры, а также окислительно-восстановительный потенциал, состав гидротерм, давление, не приводя при этом достаточного термодинамического обоснования [5, 6]. Существенный вклад в понимание зависимости пробности золота от физико-химических условий рудообразования внесли осуществленные в последнее десятилетие экспериментальные исследования по растворимости золото-серебряных сплавов и проведенное на их основе термодинамическое моделирование совместного переноса и отложения соединений Au и Ag в хлоридных, хлоридно-сульфидных и сульфидных гидротермальных растворах [7, 8]. Но, в основном, они касались лишь систем, равновесных с пирит-пирротиновым буфером.

Иной подход, основывающейся на применении методов физической химии, обоснован фундаментальными исследованиями термодинамики процессов минералообразования корифеев советской и зарубежной геологической науки [9-11]. Они базируются на результатах экспериментального изучения, полученных при этом термодинамических константах и, главным образом, на электрохимическом анализе окислительно-восстановительных процессов образования, миграции и разрушения комплексов золота и серебра в различных по кислотности-щелочности и редокс-потенциалу гидротермальных растворов. Расчет свободной энергии и окислительного потенциала различных комплексов благородных металлов позволяет оконтурить поля их устойчивости на диаграммах Eh – pH и определить ход эволюции гидротермальной системы при формировании золоторудных месторождений. Такие исследования позволяют рассматривать направленность окислительно-восстановительных реакций различных соединений, устойчивость и реакционная способность которых предопределяется Eh – pH гидротермальной системы [12, 13].

Состав минералов служит одним из главных источников информации о физико-химических условиях рудоотложения, поэтому выявление причинно-следственных связей между составом минералов и характеристиками минералообразующих процессов является важнейшей задачей генетической минералогии. Не менее важно это и в практическом отношении для разработки минералогических прогнозно-оценочных критериев.

По данным Н.В. Петровской [3] влияние температуры на вхождение Ag в структуру кристаллизовавшегося золота не является определяющей. Нет также достоверных оснований для вывода о значении общей концентрации Ag в верхних частях зоны гидротермальной деятельности, то есть не наблюдается прямая зависимость пробы золота от богатства месторождений серебром. Кроме того накоплен большой фактический материал, которые противоречит известным выводом А.Е. Ферсмана о закономерном очищении минералов на поздних стадиях рудоотложения (принцип автолизии). В литературе приводится еще один фактор - степень пересыщения растворов, при которой идет кристаллизация данного минерала [14]. Авторы этой работы на основании детального изучения типоморфных особенностей основных минералов золоторудных месторождений пришли к выводу, что между параметрами гидротермальных растворов и конечным результатом (состав минералов) имеет место степень пересыщения растворов, которая регулирует поведение изоморфных примесей.

В лексиконе минералогических и технологических описаний прижились понятия низкопробное и высокопробное золото, заменяющие цифровые обозначения содержаний серебра в минерале (таблица 2). Иногда граница таких содержаний определяется разными исследователями неоднаково. При этом исключен электрум, как особый минеральный вид.

Таблица 2 – Пробность золота (по Н.В. Петровской)

Границы содержаний	Пробность, %
Весьма высокопробное, почти чистое	998-951
Высокопробное	950-900
Умеренно высокопробное, средней пробы	899-800
Относительно низкопробное	799-700
Низкопробное	699-600
Весьма низкопробное, высокосеребристое	< 600

**Пробность самородного золота на месторождении Коккия.** На рисунке 2 золото заключено в пентагондодекаэдрическом пирите III (глубина 60-61 м) хлорит-серицит кварцевого метасоматита. В тесной ассоциации с пиритом III встречены редко встречающиеся на месторождении высокотемпературные молибденит и арсенопирит. Золото ярко-желтого цвета, по отражательной способности его можно отнести к высокопробному золоту (примерно 950‰).

С глубиной (140-143 м) в серицитолитах появляются теллуриды золота, серебра, свинца, находящиеся в тесной ассоциации с золотом самородным и развивающиеся в межзерновых пространствах интенсивно корродированного пирита III.

В аншлифе 11 найдены золотинки: 1) прожилковидной формы ( $0,01 \times 0,05$  мм) в сериците по краю крупного корродированного зерна пирита; 2) мелкие неправильной формы в сериците ( $0,01$  мм); 3) в срастании с мелкими зернами пирита в сериците ( $0,01 \times 0,1$ ); 4) в срастании с мелкими зернами пирита и теллуридами прожилковидной формы ( $0,01 \times 0,1$  мм); 5) в сериците –  $0,005 \times 0,025$  мм; 6) в срастании с теллуридами и пиритом в сериците (8 зерен неправильной формы –  $0,01-0,02 \times 0,03$  мм); 7) по краю зерна пирита ( $0,01$  мм); 8) 3 в зерне пирита ( $0,005-0,01$  мм); 9) золото (2 зерна -  $0,01-0,02$  мм) в срастании с теллуридами между зернами пирита, цементируя пирит; 10) прожилок золота ( $0,01 \times 0,1$  мм) в промежутке зерен пирита в сериците; 11) 2 прожилковидных выделения золота в сериците ( $0,01 \times 0,05$  мм); 12) в срастании с теллуридом и серицитом в пирите ( $0,01 \times 0,02$  мм); 13) прожилковидный в сериците рядом с зерном пирита ( $0,01 \times 0,06$  мм); 14) в срастании с пиритом и между зернами пирита (2 зерна  $0,01-0,005 \times 0,01$  мм). На рисунках 2-5 показаны золото и теллуриды.

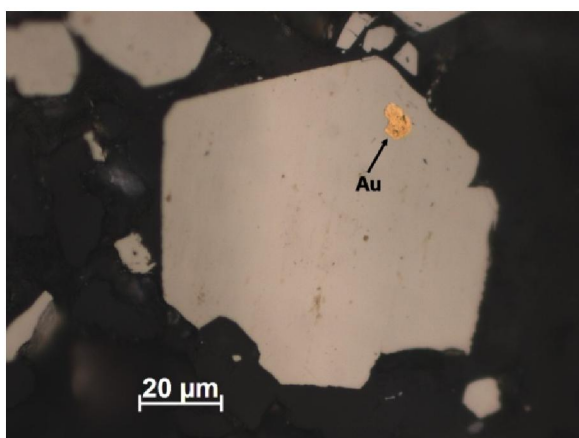


Рисунок 2 – Золото (Au) в зерне пентагондодекаэдра. Аншлиф 38

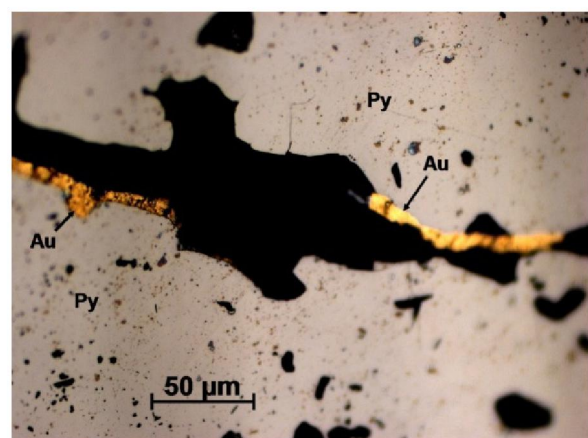


Рисунок 3 – Золото (Au) прожилковидной формы в промежутке зерен пирита или по краю пиритовых зерен (Py) в серицитолите. Аншлиф 11

**Калаверит и алтайт** – развиваются между зернами пирита, прожилковидной, овальной, призматической формы. Встречаются обособленно в массе метасоматита, в сростках с золотом и пиритом, проникают в пирит, корродируя его. Размеры – до  $0,04 \times 0,07$  и  $0,03 \times 0,1$  мм (рисунки 4, 5). Минералы подтверждены аналитически. Кроме того, алтайт встречается в корродированных зернах и сростках пирита, иногда в ассоциации с галенитом.

Пробность золота (рисунки 3, 6) приведена в таблице 3 и выполнена Поповым Ю.В. («Центр исследований минерального сырья и состояния окружающей среды» Южного федерального университета). Растворный электронный микроскоп TescanVegaLMU с системами рентгенофлюоресцентного микроанализа INCAEnergy 450, INCAWave 700 (фирмы OXFORDInstruments Analytical). Железо исключено из результатов расчета. Золото относится к высокопробному (940-944‰).

Результаты, полученные на микрозонде по пробности золота в срастании с теллуридами оказались близкими к выполненным на растворном электронном микроскопе (рисунки 3-5, таблица 4). Золото относится к высокопробному и весьма высокопробному (941 и 977‰).

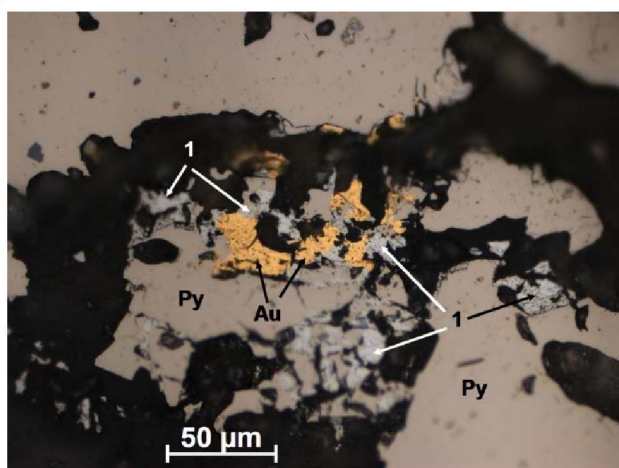


Рисунок 4 – Золото (Au) в срастании с алтaitом, калаверитом (1) и пиритом (Py) в серицитолите. Анишлиф 11

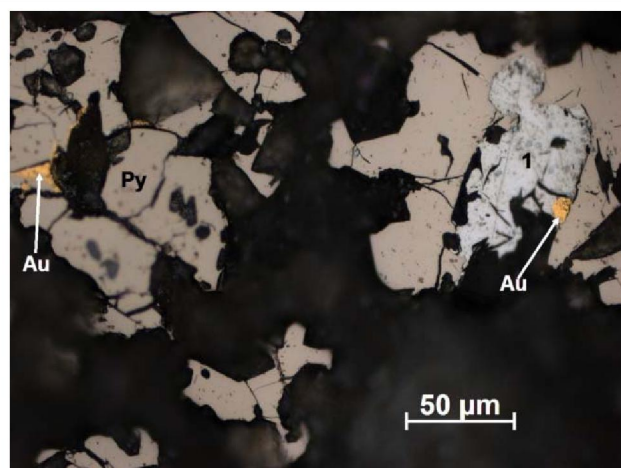


Рисунок 5 – Золото (Au) в срастании с алтaitом (1) и пиритом (Py) в серицитолите. Анишлиф 11

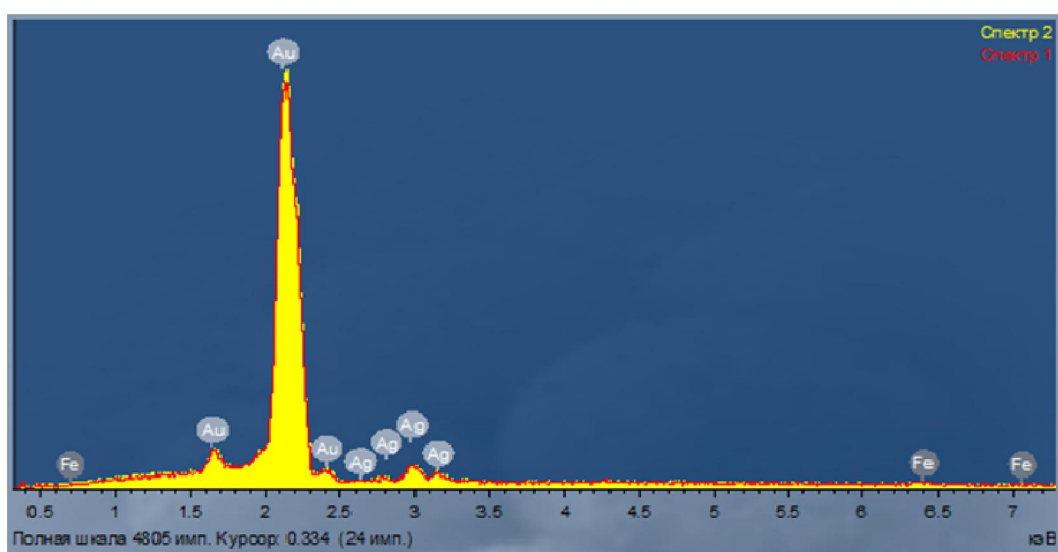
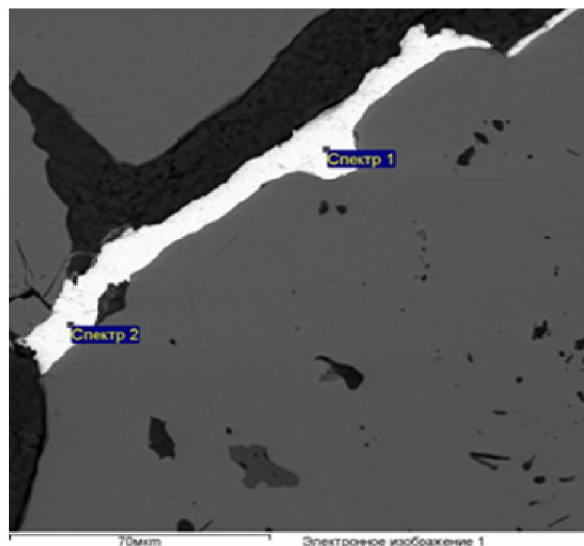


Рисунок 6 – Золото (Au) прожилковидной формы в промежутке зерен пирита или по краю пиритовых зерен (Py) в серицитолите. Анишлиф 11

Таблица 3 – Состав золота по данным растрового электронного микроскопа (вес. %)

Аншлиф 11	Элементы		Сумма	Пробность, %
	Au	Ag		
Анализ 1 – Золото прожилковидной формы	93,57	6,0	99,57	940
Анализ 2 – Золото в срастании с алтaitом между зерен пирита	92,60	5,47	98,07	944

Таблица 4 – Состав золота по данным микрорентгеноспектрального анализа (вес. %)

Аншлиф 11 – Золото в срастании с теллуридами (алтait и калаверит) между зерен пирита, (вес. %)				
Au	Ag	Fe	Сумма	Пробность, %
97,04	2,27	0,69	100	977
92,23	5,77	2,0	100	941

\*Аналитики В.И. Левин и П.Е Котельников. Анализ выполнен на микрозонде JCXA-733 (Япония).

Химический состав рудных и жильных минералов изучен при помощи сканирующего электронного микроскопа «S-3700N» оснащенного энергодисперсионным рентгеновским спектрометром (EDS) с микроанализатором в лаборатории Университета имени Адама Мицкевича, Польша (рисунок 7).

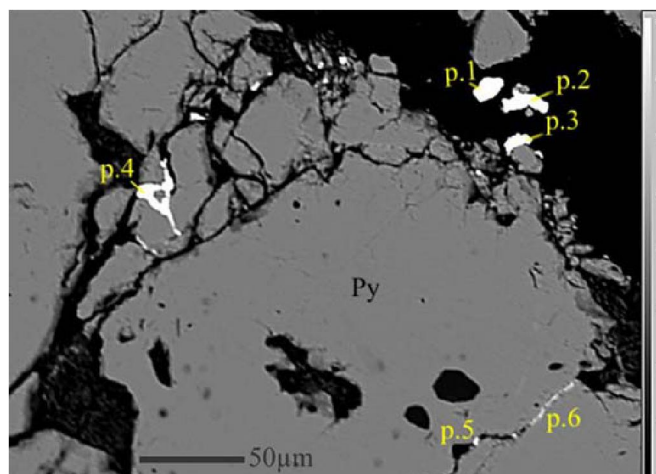


Рисунок 7 – Золото в зернах пирита. Аншлиф 11

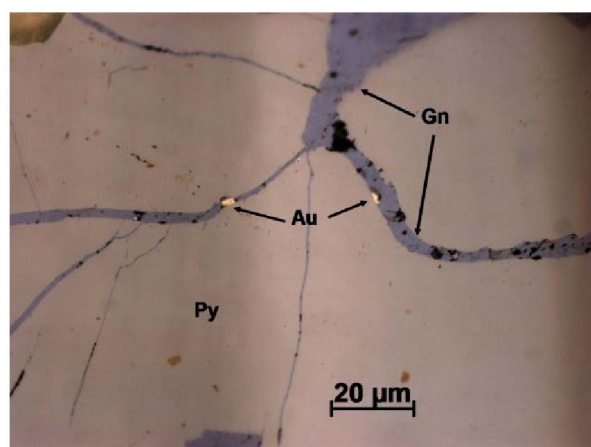


Рисунок 8 – Золото (Au) светло-желтое в галенитовом прожилке (Gn). Py – пирит

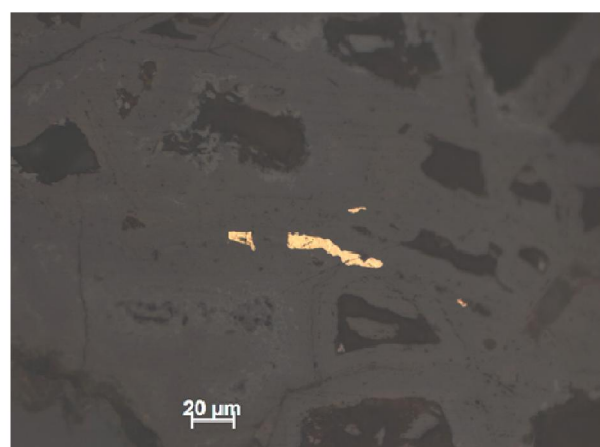


Рисунок 9 – Золото в гидроксидах железа.  
Аншлиф 194/2

На более глубоких горизонтах месторождения (175-176 м) отмечается появление прожилково-вкрапленной колчеданно-полиметаллической руды в кварц-серицитовом метасоматите, в котором золото тесно ассоциирует с галенитом. Галенит с заключенным в нем золотом развивается в виде тонких прожилков между зернами агрегативного пирита IV (рисунок 8). Золото относится к умеренно высокопробному, среднему (810%).

На малых глубинах (6-8 м) тонкодисперсное золото, заключенное во вкрапленниках пентагондодекаэдрического пирита III в серицитолитах, отличается понижением пробности (таблица 5). Золото относится к низкопробному и относительно низкопробному (634-717%).

Таблица 5 – Состав золота по данным микрорентгеноспектрального анализа (вес. %)

Аншилф 199 – Золото в пирите, (вес. %)			
Au	Ag	Сумма	Пробность золота, %
71,66	28,34	100	717
63,39	36,61	100	634

\*Аналитики В.И. Левин и П.Е Котельников. Анализ выполнен на микрозонде JCXA-733.

Пирит III на таких малых глубинах (6-10 м) подвержен окислению, а золото, заключенное в нем очищается и становится высокопробным (рисунок 9).

#### Выводы.

- Серицитолиты с вкрапленностью пентагондодекаэдрического пирита III являются наиболее золотоносными. Золото концентрируется как в пирите, так и в сериците.
- Золото, связанное с пентагондодекаэдрическим пиритом III высокопробное, однако с уменьшением глубины (6-10 м) содержание серебра, как основного примесного элемента самородного золота увеличивается.
- С глубиной (140-143 м) пирит III подвергается интенсивному корродированию, становится пористым и самородное золото в тесной ассоциации с теллуридами золота, серебра и свинца проникает в него. Золото высокопробное и весьма высокопробное.
- Содержание серебра в самородном золоте, заключенном в поздних галенитовых прожилках в агрегативном пирите IV закономерно увеличивается и является характерным для многих золоторудных месторождений.
- Самородное золото высокой пробы находится в окисленных псевдоморфозах пирита III и в гидроксидах железа.

#### ЛИТЕРАТУРА

- [1] Omarova G., Baibatsha A., Muszynski A., Dyussembayeva K., Loparev S. Micromineralogy of Gold-bearing Ores of Metasomatic Type Deposit in Kazakhstan // 17th International Multidisciplinary Scientific GeoConference SGEM, 29 June - 5 July 2017, Albena, Bulgaria. – Vol. 17, Issue 11. – P. 321-328.
- [2] Baibatsha A., Dyussembayeva, Kassenova A. Microgenetic associations of gold in ore-forming minerals from deposits of different geological and industrial types of Kazakhstan // Proceedings of the 11th International congress for Applied Mineralogy (ICAM). Springer International Publishing. – Switzerland, 2015. – P. 1-8.
- [3] Петровская Н.В. Самородное золото. – М.: Наука, 1973. – 330 с.
- [4] Константинов М.М., Некрасов Е.М., Сидоров А.А., Стружков С.Ф. Золоторудные гиганты России и мира. – М.: Научный мир, 2000. – 272 с.
- [5] Жаутиков Т.М. Металлогенез и эволюционная направленность рудного процесса на месторождениях золота Казахстана // Мат. Всерос. конф. «Самородное золото, типоморфизм минеральных ассоциаций, условия образования месторождений, задачи прикладных исследований». – М.: ИГЕМ РАН, 2010. – Т. 1. – С. 193-195.
- [6] Широких И.Н., Черезов А.М., Васьков А.С. Вариации состава самородного золота на Старо-Берикульском месторождении Кузнецкого Алатау // Геология и геофизика. – 2000. – Т. 41(1). – С. 111-119.
- [7] Колонин Г.Р., Белеванцев В.И., Пальянова Г.А., Широносова Г.П. Физико-химическая модель рудоотложения на месторождениях золото-сульфидной формации // Генетические модели эндогенных рудных формаций. – Новосибирск, 1981. – Т. II. – С. 110-112.
- [8] Колонин Г.Р., Пальянова Г.А. Пробность самородного золота как возможный индикатор состава и температуры рудообразующего раствора // Докл. АН РАН. – 2000. – Т. 373, № 7. – С. 527-531.
- [9] Акимова А.В., Плотинская О.Ю. Особенности морфологии и внутренней структуры пирита Березняковского золоторудного месторождения (Южный Урал) // Пробл. конф. посвященная 100-летию со дня рождения Ф. В. Чухрай. – М.: ИГЕМ РАН, 2008. – С. 244-246.

- [10] Коваленкер В.А., Плотинская О.Ю., Конеев Р.И. Минералогия эпимеральных золото-сульфидно-теллуридных руд месторождения Кайрагач (Узбекистан) // Новые данные по минералам. – 2003. – Т. 37. – С. 45-63.
- [11] Рафаилович М.С. Золото недр Казахстана: геология, металлогения, модели прогнозирования и поиска. – Алматы, 2009. – 304 с.
- [12] Рафаилович М.С. Золотоносные метасоматические формации Казахстана // Уральский геологический журнал. – 2000. – № 5. – С. 41- 84.
- [13] Сазонов В.Н., Коротеев В.А. Основные золотопродуктивные и сопутствующие метасоматические формации Урала. – Екатеринбург, 2009. – 161 с.
- [14] Самусиков В.П. Закономерности концентрации изоморфно-примесных элементов в минералах при гидротермальном рудообразовании // Геология и геофизика. – 2010. – Т. 51, № 3. – С. 338-352.

**А. Б. Байбатша<sup>1</sup>, А. Мушински<sup>2</sup>, Г. М. Омарова<sup>1</sup>, К. Ш. Дюсембаева<sup>1</sup>, А. Т. Касенова<sup>1</sup>**

<sup>1</sup>Қ. И. Сәтбаев атындағы Қазақ ұлттық техникалық зерттеу университеті, Алматы, Қазақстан,

<sup>2</sup>Адама Мицкевич атындағы университеті, Познань, Польша

**КӨККИЯ АЛТЫНРУДАЛЫ КЕНОРНЫНЫҢ (ҚЫРҒЫЗ ЖОТАСЫ)  
АЛТЫН СЫНАМЫ МИНЕРАЛ ЖАРАЛУДЫҢ  
ФИЗИКАЛЫҚ-ХИМИЯЛЫҚ ЖАҒДАЙЛАРЫНЫҢ КӨРСЕТКІШІ РЕТИНДЕ**

**Аннотация.** Мақалада Көкция алтын кенорнының рудаларын микроскоптық зерттеу нәтижелері сипатталған. Кенорын рудаларының минералдық құрамы, екінші дәрежелі және сирек минералдары анықталған. Алтын сынамының өзгергіштігі кенорының жайға су терендігі, сондай-ақ минерал жаралу процестерінің бастапқыдан соңғыға дейінгі сатысы бойынша анықталады. Алтын сынамын әлемнің көптеген ғалымдары алтын рудалы кенорындар жарапуының физикалық-химиялық жағдайларын анықтайтын типоморфтық белгі ретінде қабылдайды. Руда жарапудың физикалық-химиялық жағдайлары туралы негізгі ақпарат береалатын сирек минералдар да анықталған. Минералдардың құрамы мен минерал жаралу процестерінің сипаттамалары аралығындағы себептік-салдарлық байланыстар сипатталған. Бұл анықталғандар практикалық жағынан минералологиялық болжамдық-бағамдық критерийлерді әзірлеу үшін де манызды.

**Түйін сөздер:** алтын сынамы, пирит, теллуридтер, алтын шоғырландыруыш минералдар.

**Сведения об авторах:**

Байбатша Адильхан Бекдильдаевич – доктор геол.-минер. наук, профессор кафедры «Геологической съемки, поисков и разведки МПИ» Казахского национального исследовательского технического университета им. К. И. Сатпаева, Алматы.

Мушински Анджей – доктор геологических наук, профессор Университета им. Адама Мицкевича, Познань, Польша.

Омарова Гульнара Магаувиановна – докторант кафедры «Геологической съемки, поисков и разведки МПИ», тыютор Казахского национального исследовательского технического университета им. К. И. Сатпаева, Алматы

Дюсембаева Куляш Шарановна – кандидат геол.-минер. наук, ассоциированный профессор кафедры «Геологической съемки, поисков и разведки МПИ» Казахского национального исследовательского технического университета им. К. И. Сатпаева, Алматы

Касенова Аймхан Турапбаевна – кандидат геол.-минер. наук, ассистент профессоракафедры «Геологической съемки, поисков и разведки МПИ» Казахского национального исследовательского технического университета им. К. И. Сатпаева, Алматы